



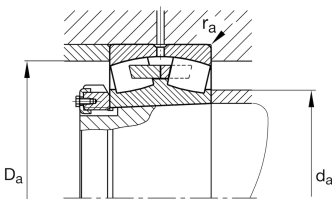
FAG

23952-K-MB-C4 [↗](#)

Радиальный сферический роликоподшипник

Радиальный сферический роликоподшипник 239...-K-MB, симметричный, 3 борта

Техническая информация



Ваш текущий вариант продукта

Исполнение отверстия	K	Коническое, 1:12
Cage	MB	Латунный сепаратор, массивный
Радиальный зазор	C4 (Group 4)	Internal clearance larger than C3
Relubrication	Standard	Стандарт

Основные размеры и рабочие характеристики

d	260 mm	Диаметр отверстия
D	360 mm	Наружный диаметр
B	75 mm	Ширина
C _r	940.000 N	Динамическая грузоподъемность, радиальная
C _{0r}	1.940.000 N	Статическая грузоподъемность, радиальная
C _{ur}	111.000 N	Предел усталостной нагрузки, радиальный
n _G	2.100 1/min	Предельная частота вращения
n _{gr}	1.190 1/min	Номинальная тепловая частота вращения
m	22,65 kg	Вес



Присоединительные размеры

$d_{a \min}$	270,2 mm	Мин. диаметр заплечика вала
$D_{a \max}$	349,8 mm	Макс. диаметр заплечика корпуса
$r_{a \max}$	2,1 mm	Макс. радиус галтели
$d_{a \max}$	285 mm	Макс. диаметр заплечика вала
$d_{b \min}$	270 mm	Мин. диаметр под втулку
$B_{a \min}$	11 mm	Мин. глубина под втулку

Габаритные размеры

r_{\min}	2,1 mm	Мин. размер монтажной фаски
D_1	330,5 mm	Диаметр отверстия наружного кольца
d_s	8 mm	Диаметр смазочного отверстия
n_s	15 mm	Width of lubricating groove

Диапазон температур

T_{\min}	-30 °C	Мин. рабочая температура
T_{\max}	200 °C	Макс. рабочая температура

Коэффициенты для расчета

e	0,19	Предельное значение F_a/F_g для применимости различн. значений коэффициентов X и Y
Y_1	3,54	Динамический коэффициент осевой нагрузки
Y_2	5,27	Динамический коэффициент осевой нагрузки
Y_0	3,46	Статический коэффициент осевой нагрузки

Дополнительная информация

H3952	Закрепительная втулка
АН3952G	Withdrawal sleeve



Характеристики



Радиальная нагрузка



Осевая нагрузка в одном направлении



Осевая нагрузка в обоих направлениях



Смазывание пластичной смазкой



Смазывание маслом



Без уплотнений



Крупногабаритный подшипник



Статические угловые и линейные несоосности



Динамические угловые и линейные несоосности